

# **Métaux pour le GC – cours 3**

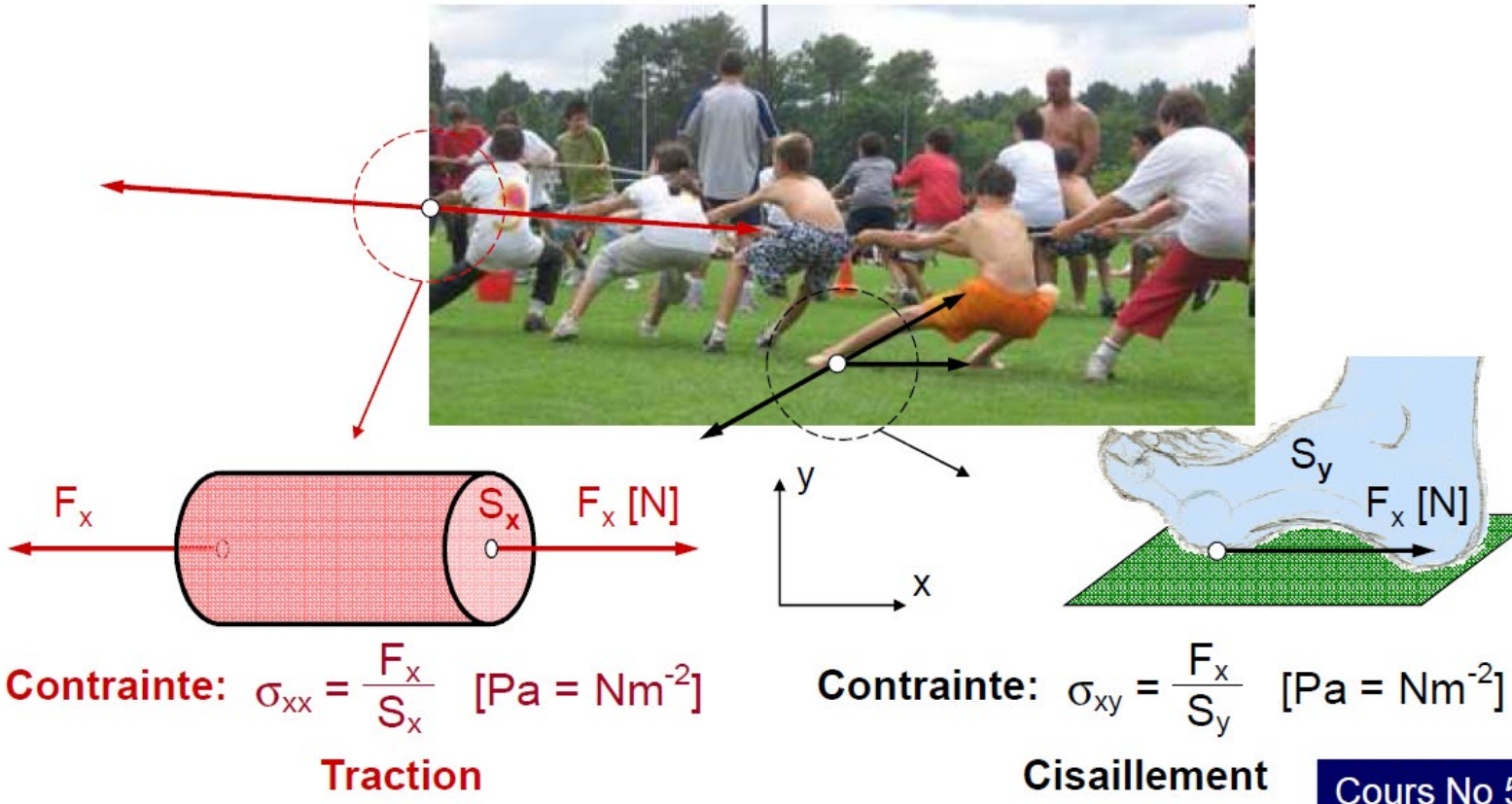
## **mercredi 30 avril 2025**

### **Propriétés mécaniques I**

essai de traction uniaxiale  
déformation élastique et plastique  
limite d'élasticité à 0.2%  
dimensionnement des structures de GC

Film: tensile tests on steels and al. alloys:  
<https://www.youtube.com/watch?v=D8U4G5kcpcM>

# Efforts de traction et de cisaillement: notion de contraintes

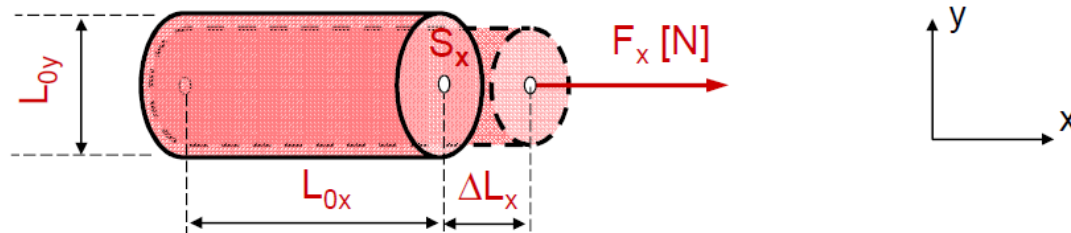


Source: ISM, M. Rappaz

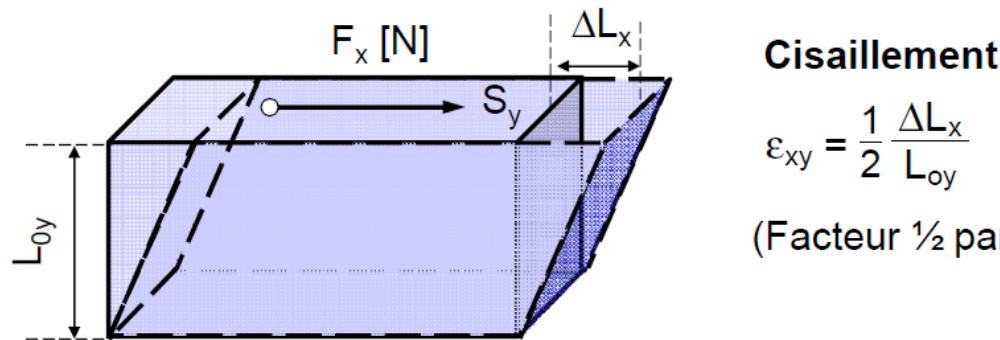
**Comment caractériser cette résistance aux efforts pour un matériau donné ?**  
NB: traction et cisaillement agissent dans les 3 directions de l'espace: il faut donc 6 coefficients pour un état de contrainte donné (**tenseur des contraintes**).

# Efforts de traction et de cisaillement: notion de déformations

Lorsqu'un corps est soumis à des forces (**contraintes**) externes, il se **déforme**.



**Traction:**  $\varepsilon_{xx} = \frac{\Delta L_x}{L_{0x}}$        $\varepsilon_{yy} = \frac{\Delta L_y}{L_{0y}}$



**Cisaillement**

$$\varepsilon_{xy} = \frac{1}{2} \frac{\Delta L_x}{L_{0y}}$$

(Facteur  $\frac{1}{2}$  par convention)

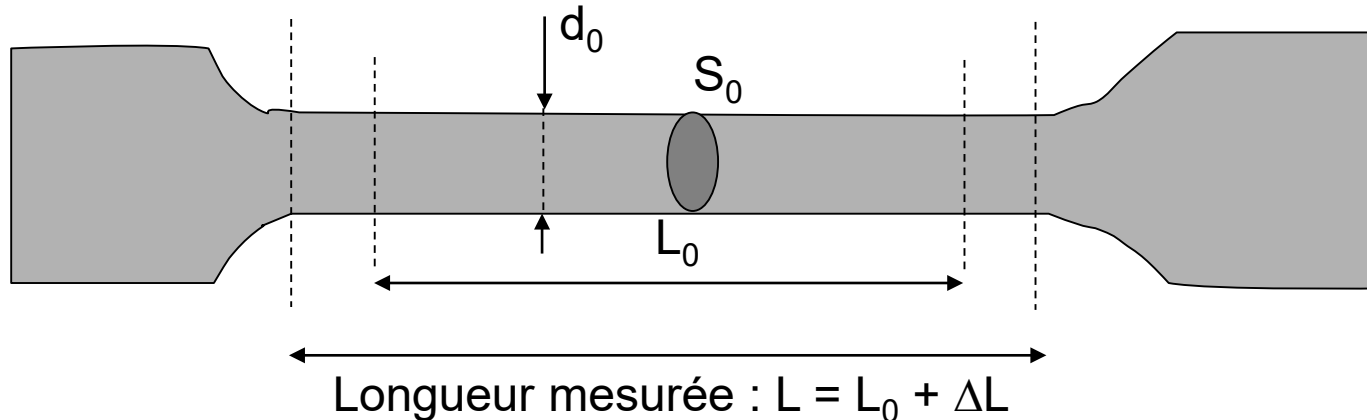
Comment caractériser cette résistance à la déformation pour un matériau donné ?

**Par l'essais de traction standardisé mené sur éprouvettes en laboratoire.**

NB: on parle de loi constitutive ou de loi de comportement du matériau, relation entre les tenseurs des contraintes  $\sigma$  et celui des déformations  $\varepsilon$ .

# Essai de traction standardisé: éprouvette plates ou cylindriques avec têtes filetées ou lisses

- Fixation simple et sûre (filetage)



- La géométrie est fixée par des normes (ISO, ASTM, ...)

$$\frac{L_0}{\sqrt{S_0}} = const$$

éprouvettes plates, 5.65,  $L_0 = 5.d_0$

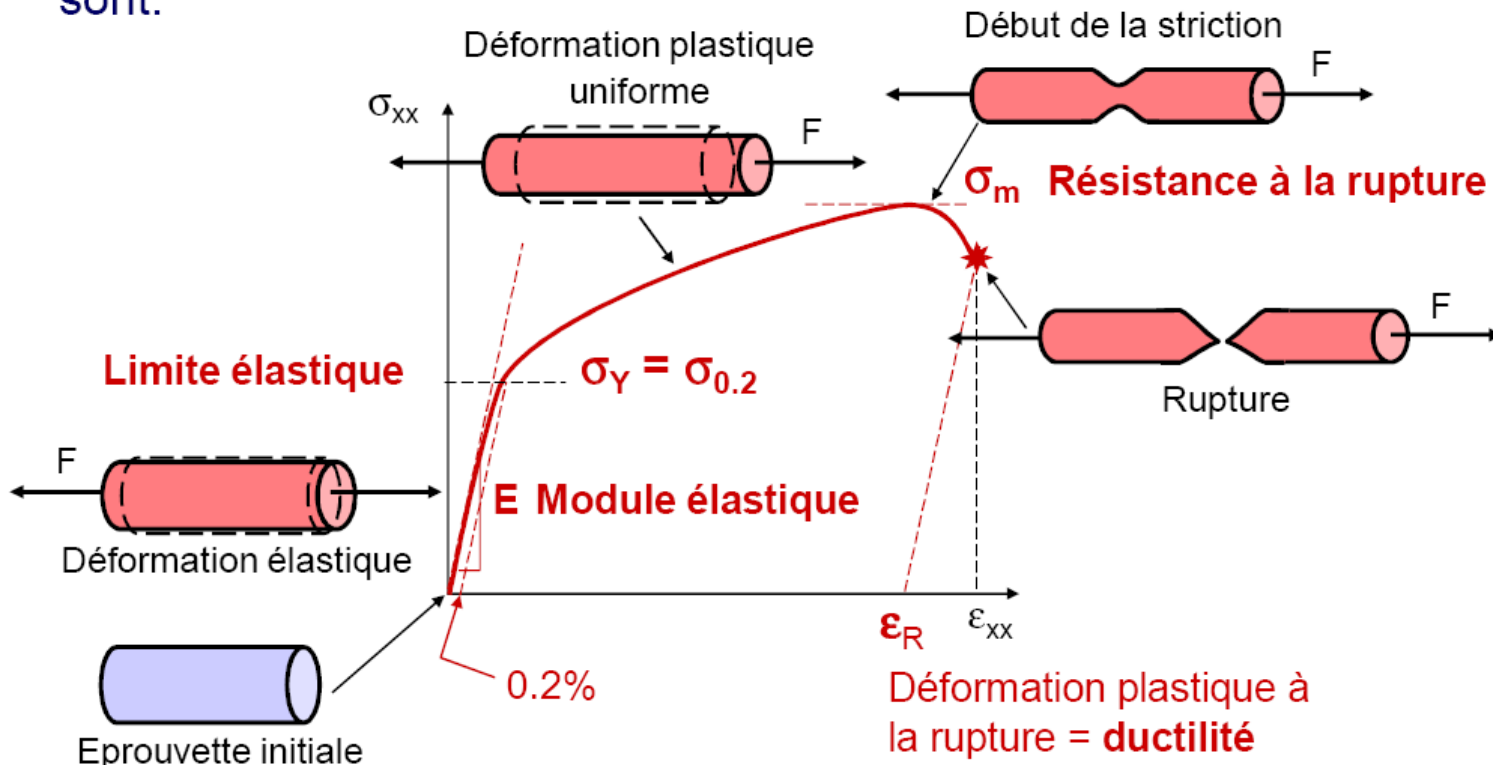
éprouvettes cylindriques, 11.3,  $L_0 = 10.d_0$

- On applique une force axiale et on mesure la longueur du fût par un extensomètre axial. La courbe force en fonction de l'élongation est la **courbe de traction**.
- On transforme alors la force et l'allongement en contrainte et déformation:

$$\sigma = \frac{F}{S_0} \text{ et } \varepsilon = \frac{L-L_0}{L_0} \text{ (en petites déformations } \leq 10\%)$$

# Essai de traction standardisé: cas des alliages métalliques

Pour un métal typique, les étapes de la déformation en traction sont:



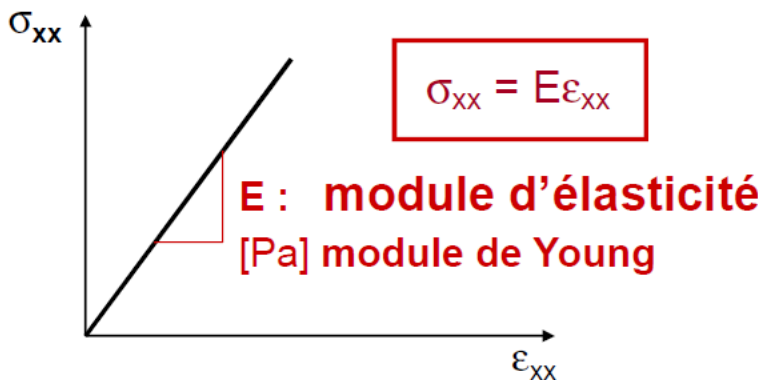
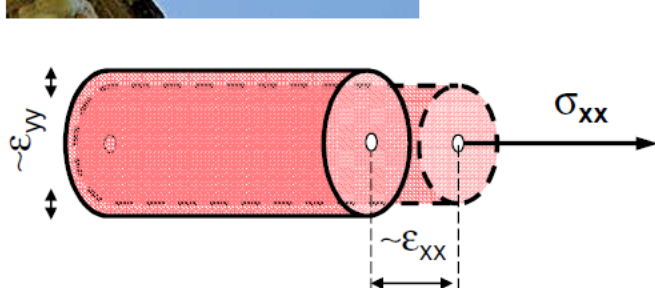
- On distingue 3 régimes de déformation
  - élastique (réversible, instantanée et linéaire)
  - plastique (irréversible)
  - striction (endommagement localisé et rupture du matériau)

# Déformation élastique: module d'Young et coefficient de Poisson



Dans une gamme de déformation dite **élastique**, un corps soumis à une charge normale se déforme mais revient à sa position originale une fois déchargé (**déformation réversible**).

Si la relation entre contrainte et déformation est linéaire, on parle de déformation élastique linéaire.



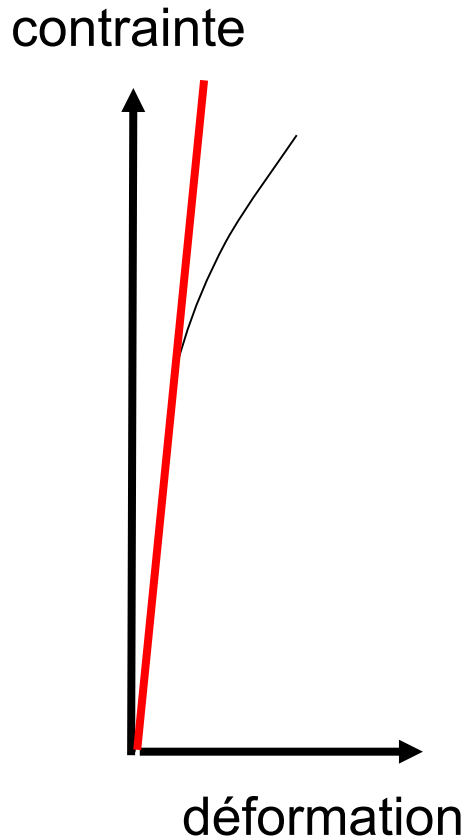
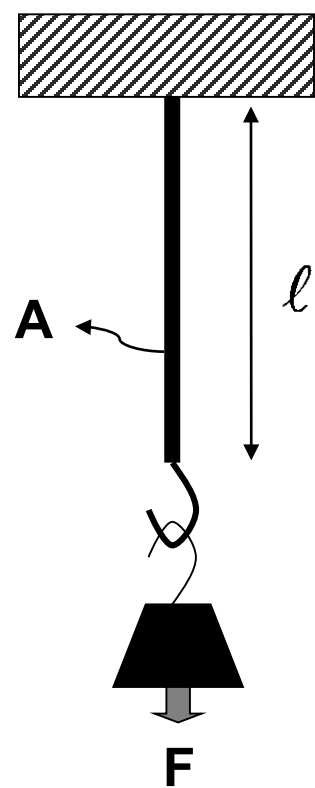
$$\varepsilon_{yy} = -\nu\varepsilon_{xx}$$

**v :** le coefficient de Poisson mesure la contraction latérale lors d'une déformation uniaxiale

Les métaux sont **très rigides, i.e. peu souples**: ils ont des E très élevés. Thomas Young (1773-1829) et Siméon Denis Poisson (1781-1840).

# Elasticité linéaire : loi de Robert Hooke (1635-1703)

## analogie au ressort



module d'élasticité  
ou module d'Young  $E$

$$\sigma = E \varepsilon^{\text{el}}$$

$$\frac{F}{S_0} = E \frac{\Delta l}{l_0}$$

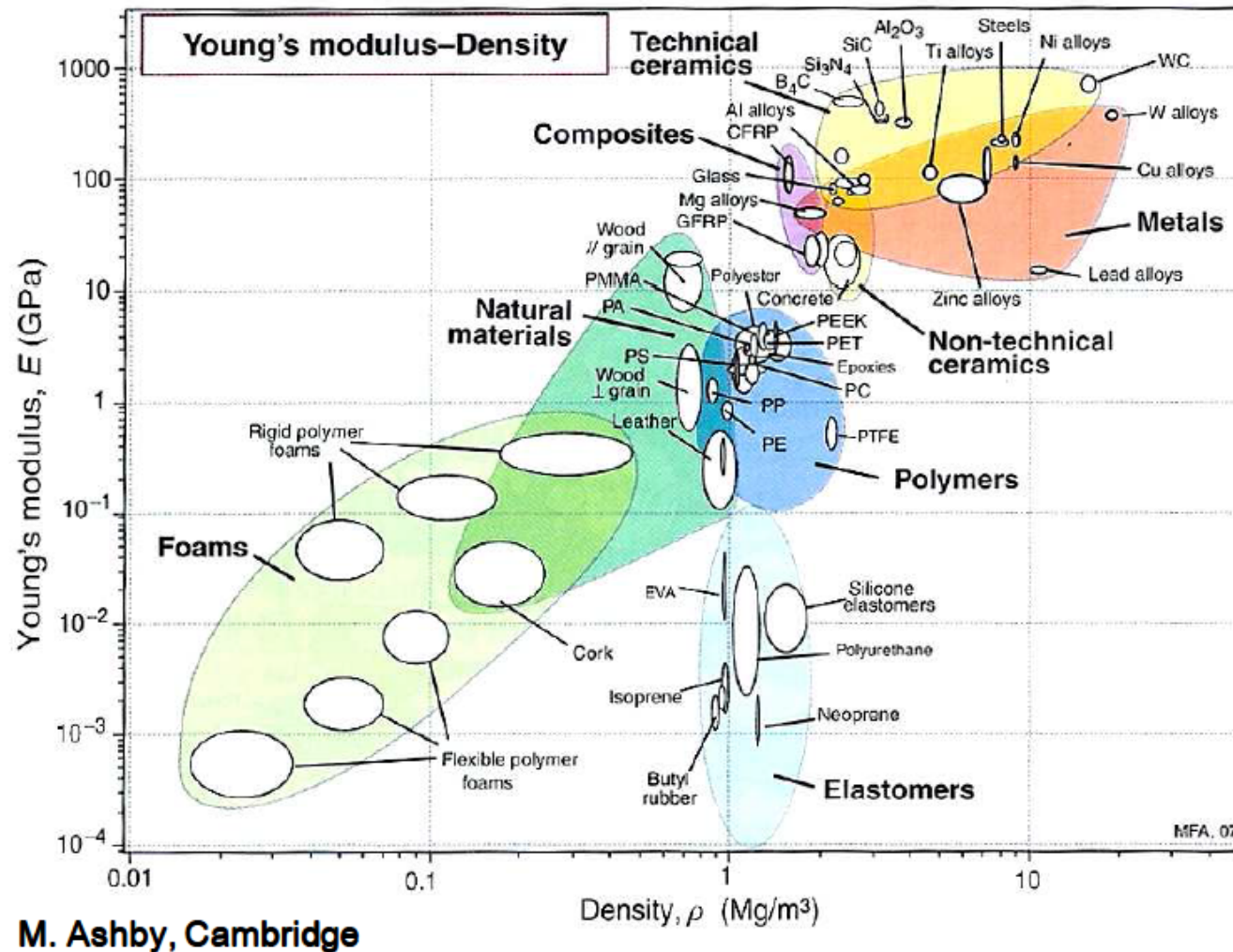
Pour les métaux,  $E$  est très élevé donc  $\varepsilon^{\text{el}}$  reste tjs très faible.

(formulation tensorielle:  $\sigma = 2\mu\varepsilon + \lambda \operatorname{tr}\varepsilon I = \frac{E}{(1+\nu)}\varepsilon + \frac{\nu E}{(1+\nu)(1-2\nu)} \operatorname{tr}\varepsilon I$ )

2 coefficients élastique :  $\mu$  et  $\lambda$  ou  $E$  et  $\nu$ )

$$E_{\text{alu}} = 70 \text{ GPa}, E_{\text{acier}} = 210 \text{ GPa} \text{ et } \nu \text{ environ } 0.3$$

Déformation élastique: les cartes d'Ashby donnent une représentation graphique du module d'élasticité (ou de Young) en fonction de la densité.



Les métaux sont très rigides mais aussi très denses.

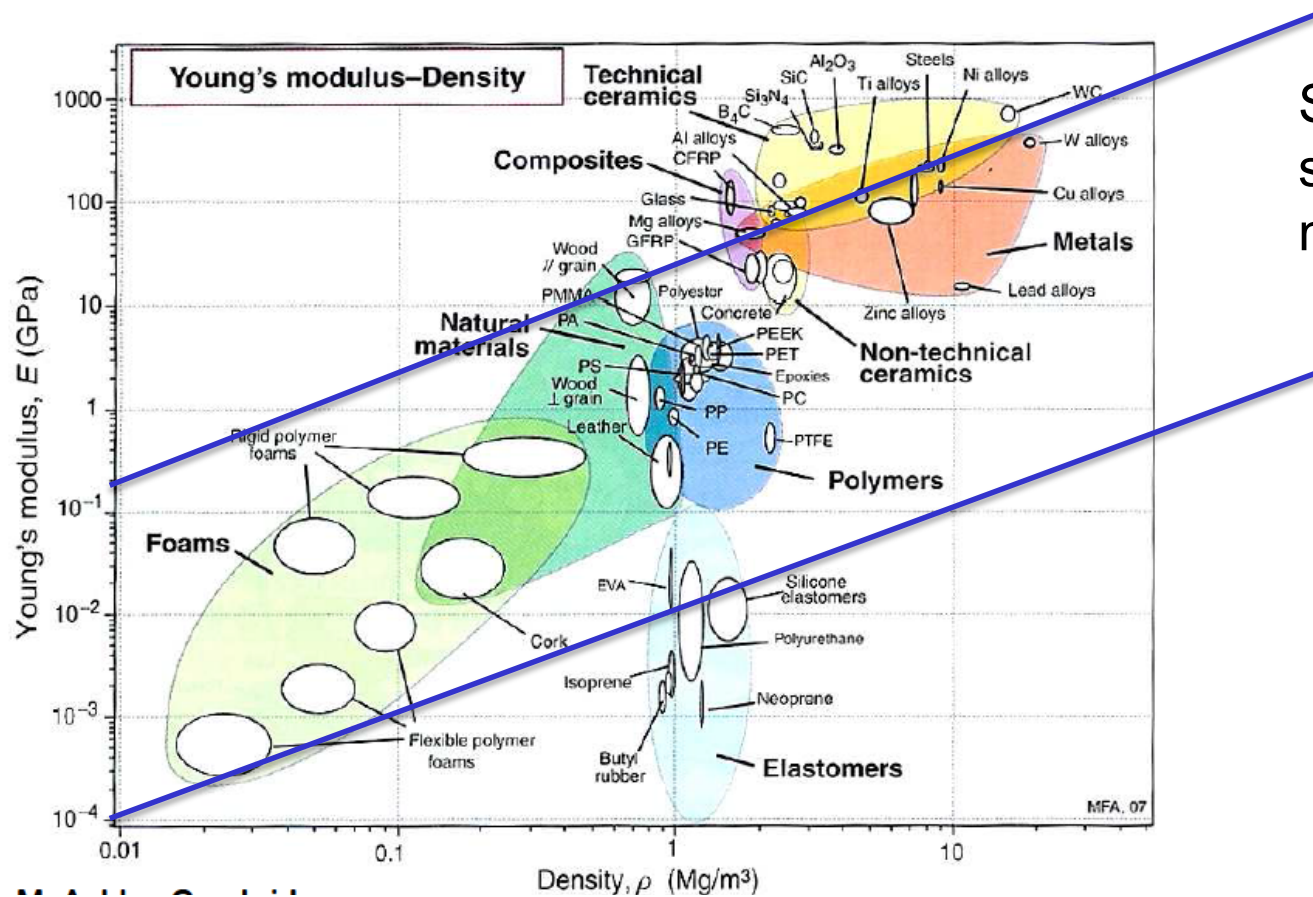
# cartes d'Ashby : iso-valeur du module d'élasticité spécifique

module spécifique d'élasticité, i.e rapporté à une unité de masse

$1/\rho$  est le volume spécifique en  $\text{m}^3/\text{kg}$  ( $0.37 \text{ dm}^3/\text{kg}$  pour Al et  $0.125 \text{ pour Fe}$ )

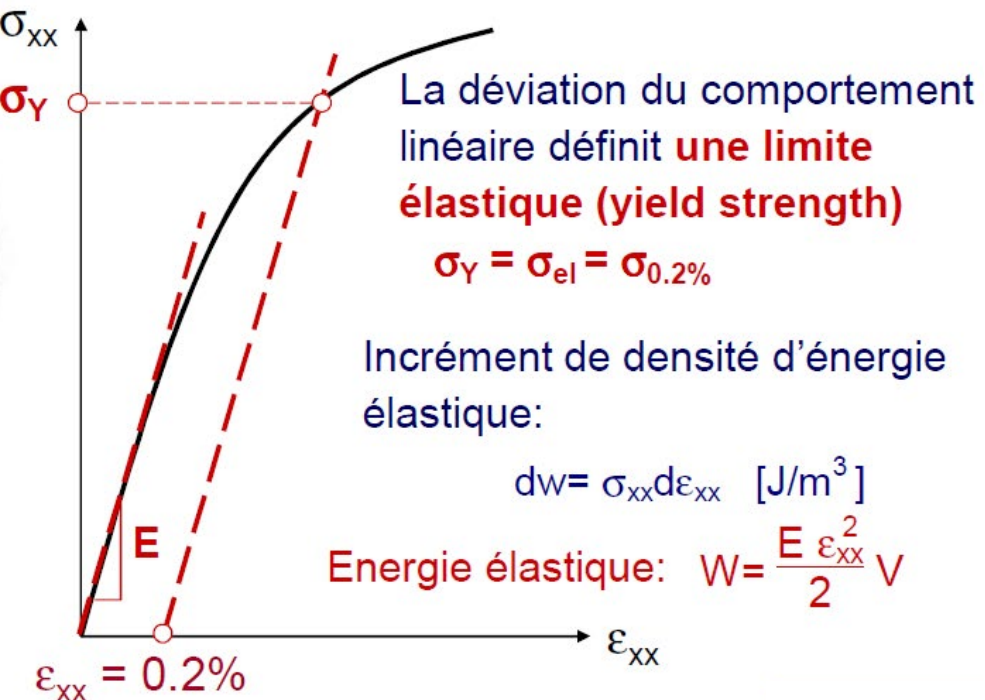
$E/\rho$  est le module spécifique i.e. le module par unité de masse.

$E/\rho = C$  i.e.  $\log E = \log C + \log \rho$ , droite de pente 1 dans le schéma log-log



Steels et Alus  
sont sur la  
même droite

# Limite élastique à 0.2% de déformation résiduelle (ou plastique).



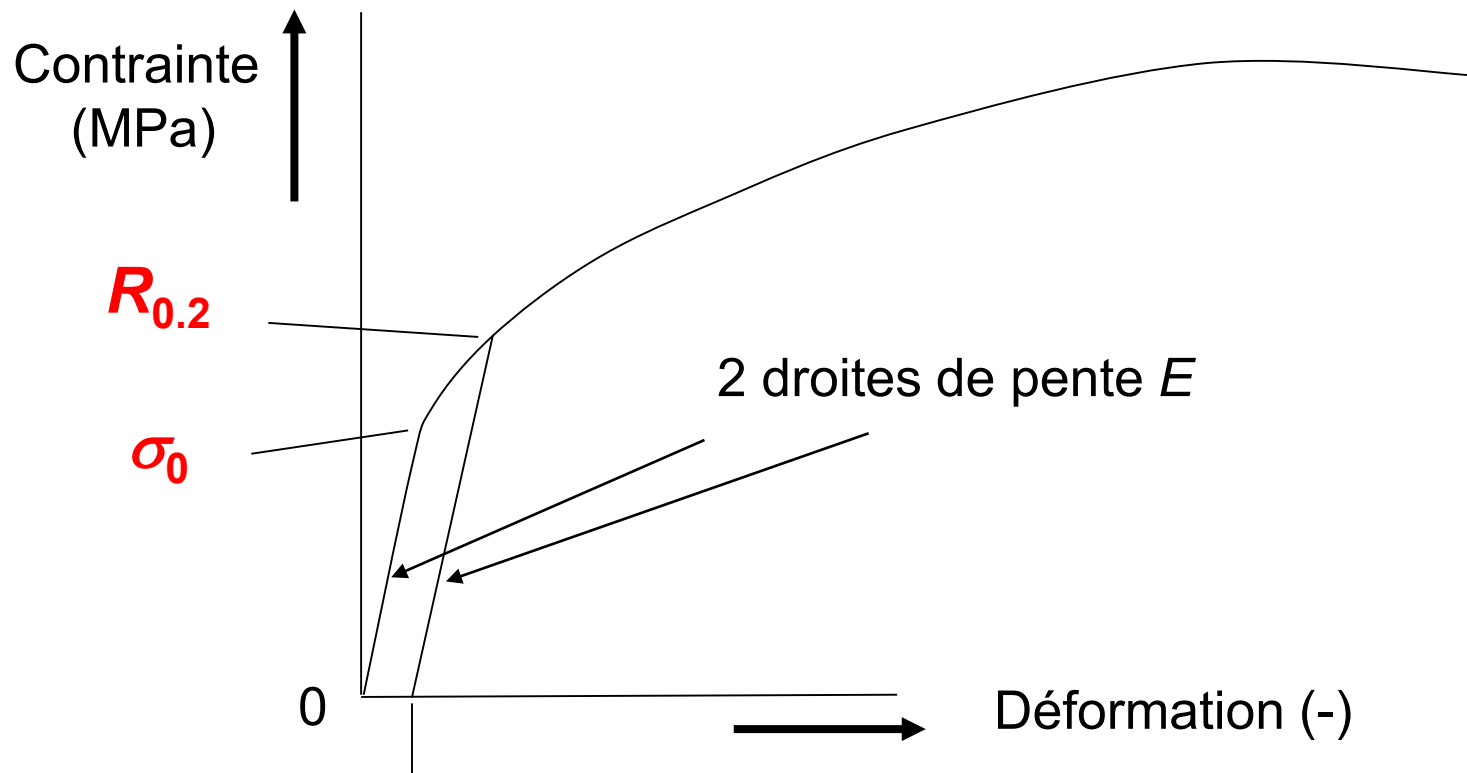
La limite élastique à 0.2% (ou 2/1000) est une convention.

Elle est notée  $R_{0.2\%}$  ( $\sigma_y$  ou  $\sigma_0$  sont les limites élastiques vraies ...)

Au-delà de cette contrainte, le matériau plastifie, i.e. il se déforme de manière irréversible et permanente.

En réalité, le matériau a plastifié à  $R_{0.2\%}$ : les ingénieurs prennent un facteur de sécurité dans les calculs de dimensionnement.

# Mesure de la limite élastique conventionnelle à 0.2%, $R_{0.2}$



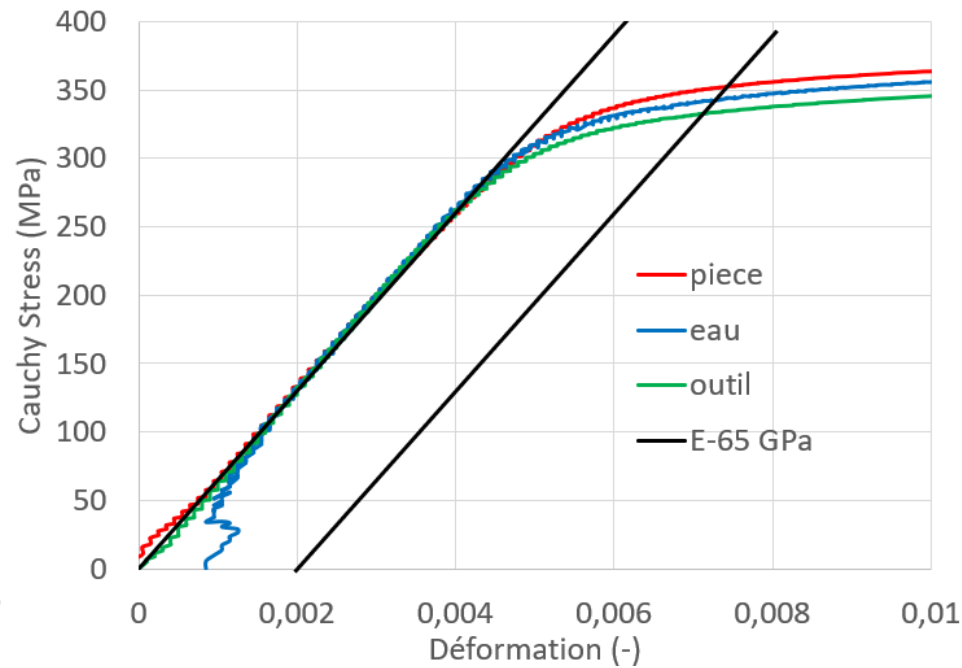
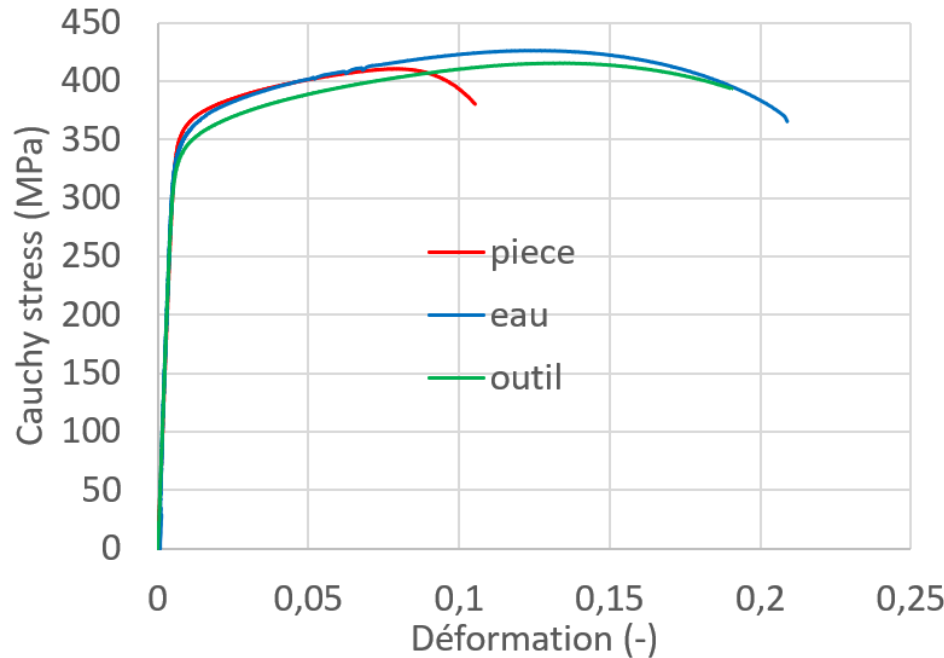
$$0.002 = 0.2\%$$

Pourquoi  $R_{0.2}$  ?

- Besoin de convention
- Pour la plupart des constructions mécaniques, des déformations aussi faibles que 0.2% sont insignifiantes
- Cette limite est plus facilement mesurable.

## Limite élastique à 0.2% et limite élastique vraie.

Exemple sur une tôle épaisse de 120 mm en aluminium AA2139 testée à 165° C en 3 positions, côté eau, à cœur (pièce) et côté outil.



Le module élastique vaut 65 GPa, valeur classique à cette température.

Le matériau «outil» semble présenter une limite élastique plus faible que les deux autres .... (figure de gauche).

A l'aide d'un zoom sur les petites déformations (fig. de droite), les 3 matériaux ont une limite élastique vraie,  $\sigma_0$ , identique de 280 MPa.

Par contre, les limites élastiques à 0.2% (ou 2/1000) sont différentes:  
330 MPa pour outil, 340 MPa pour eau et 355 MPa pour pièce .....

## Essais standardisé de traction: grandeurs mesurées

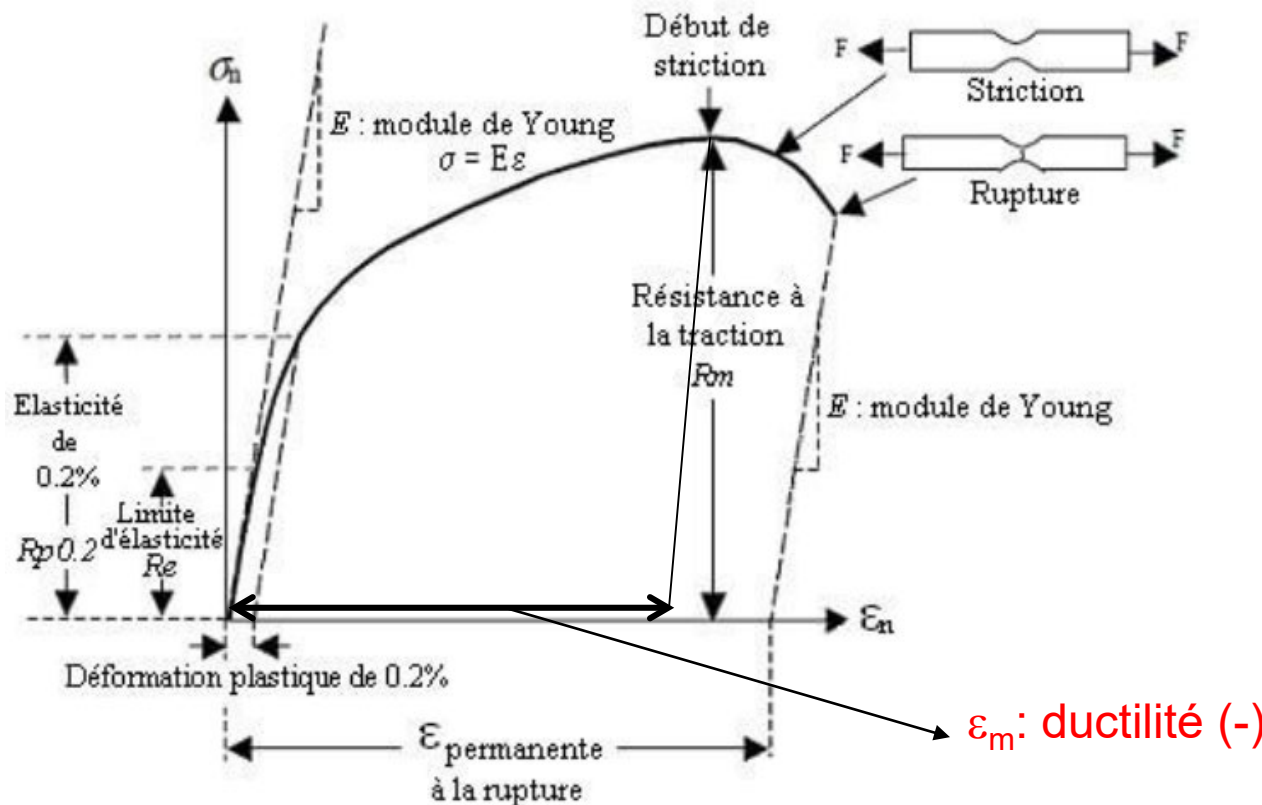
L'essai de traction réalisé en laboratoire donne **4 propriétés mécaniques** :

1- Le **module d'Young** (ou module d'élasticité). Pour mesurer  $\nu$ , il faut utiliser un extensomètre diamétral.

2- La **limite d'élasticité** ( $R_{0.2\%}$ ) utile pour le dimensionnement des structures (souvent on appliquera un facteur de sécurité, eg. 60% de cette limite)

3- La **résistance à la traction  $R_m$**

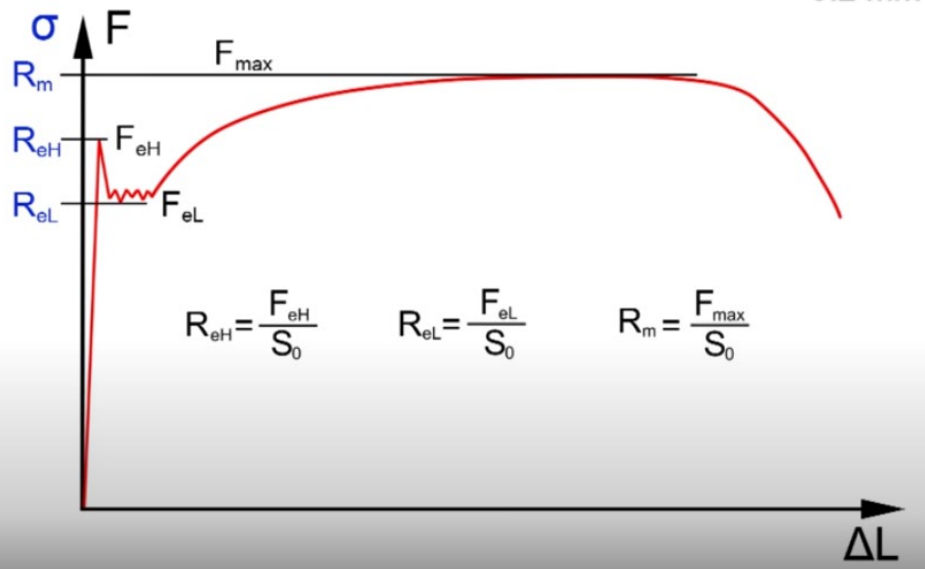
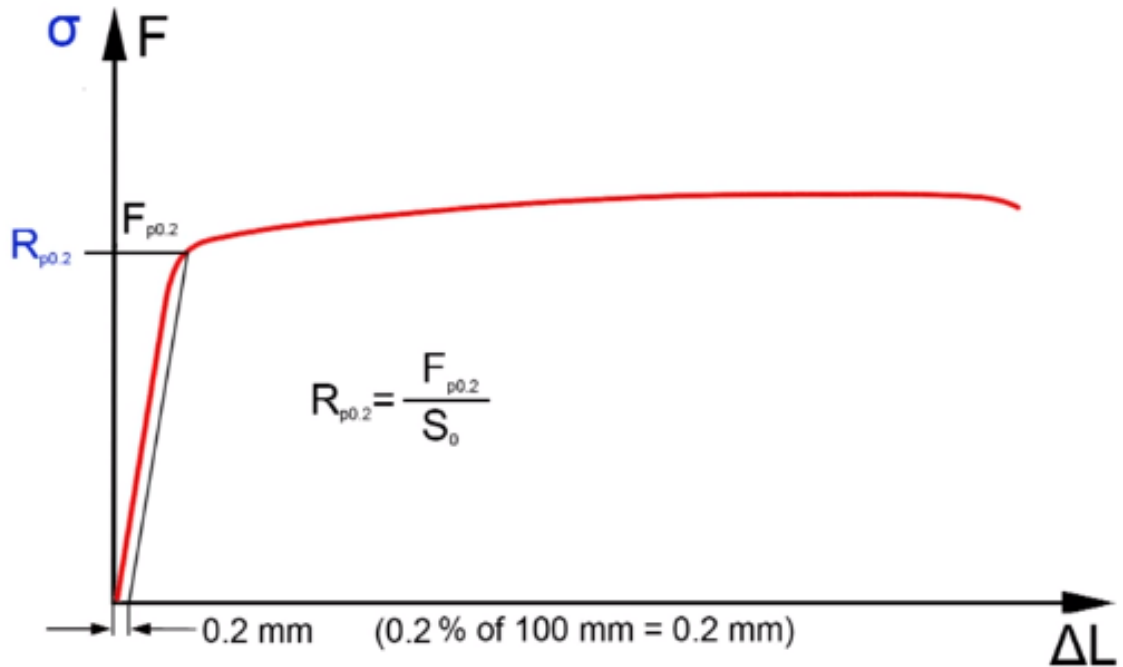
4- et la **ductilité  $\epsilon_m$**  (allongement à la résistance à la traction) utiles pour la mise en forme et/ou pour se déformer plastiquement (ouragans, forts vents, tremblements de terres, ...) sans rompre.



# Essais standardisé de traction: alus vs aciers

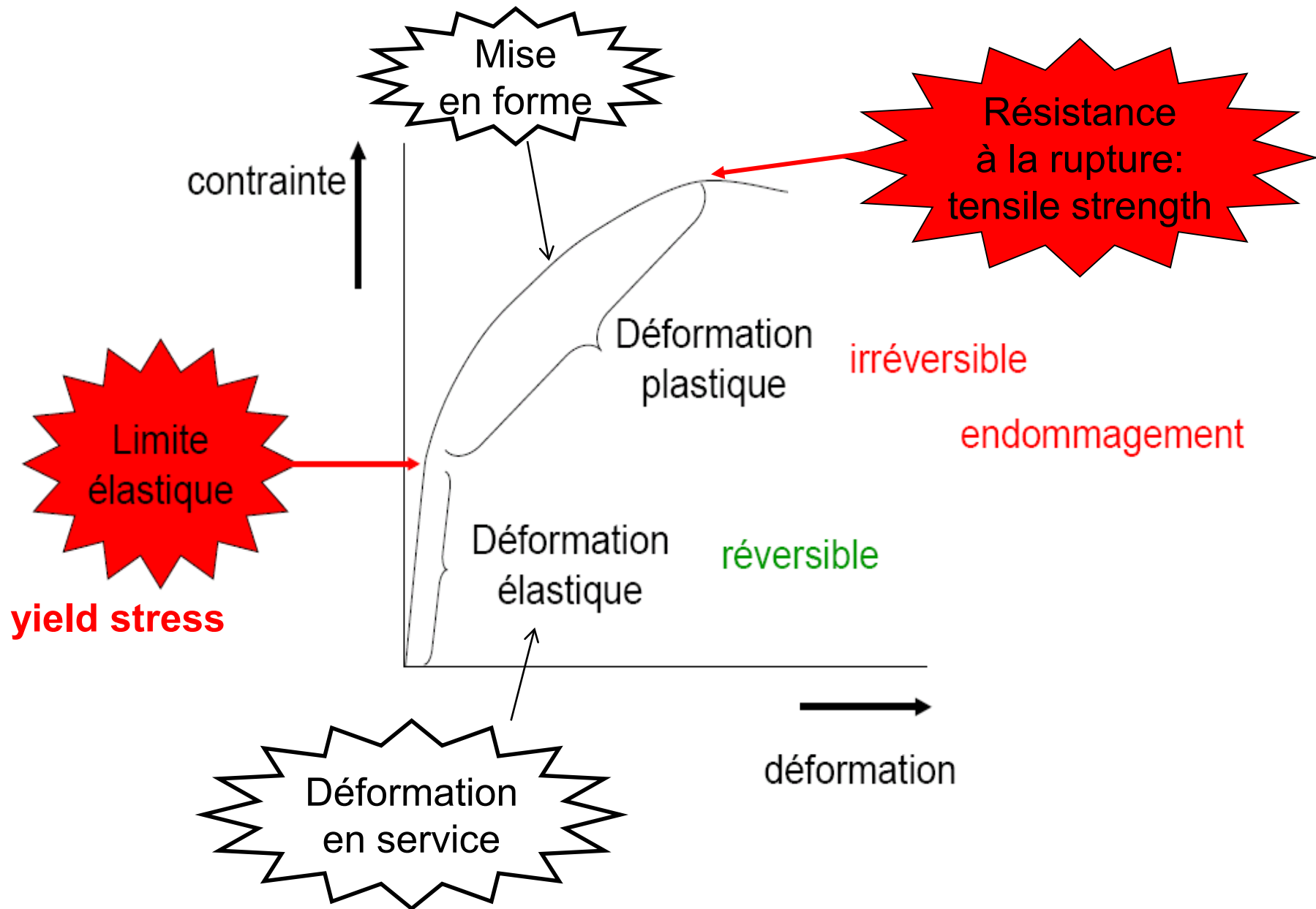
<https://www.youtube.com/watch?v=D8U4G5kcpcM>

Les non ferreux (Al, Cu, Ni, etc) ont une seule limite élastique.



Les aciers ont deux limites élastiques: une haute et une basse. On verra pourquoi ....

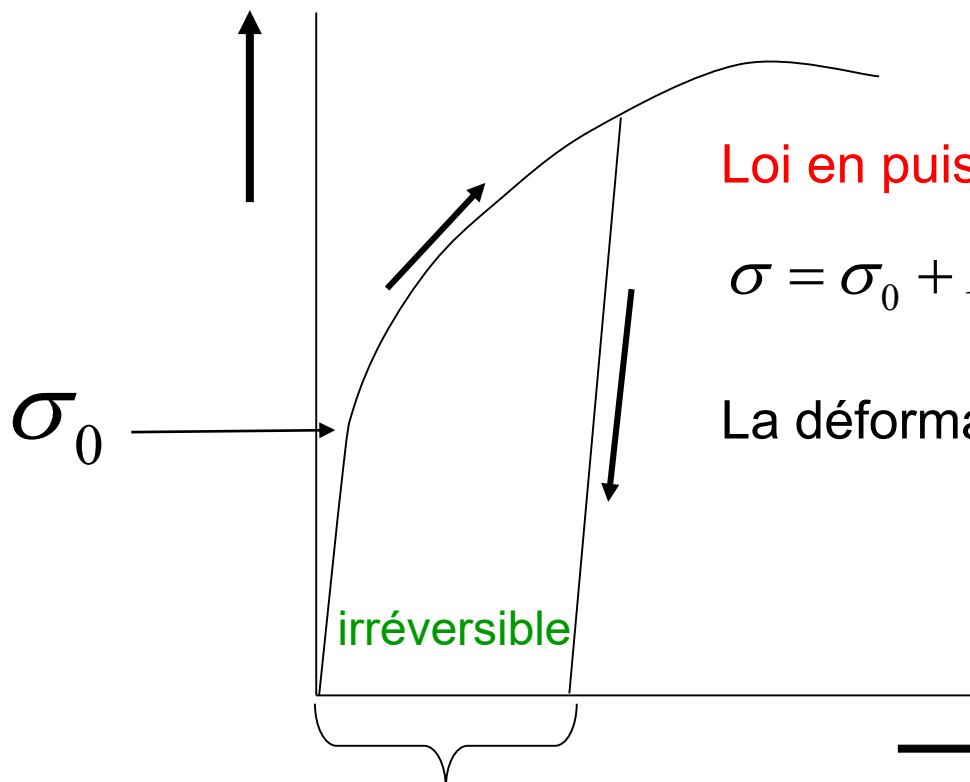
## Mise en forme (élasto-plasticité) et tenue en service (élasticité)



## Déformation plastique : déformation irréversible (i.e. permanente, utilisée dans la mise en forme des métaux)

La relation entre contrainte et déformation en régime plastique n'est plus linéaire.

Contrainte  $\sigma$



Loi en puissance:

$$\sigma = \sigma_0 + K (\varepsilon_{pl})^n = \sigma_0 \text{ quand } \varepsilon_{pl} = 0$$

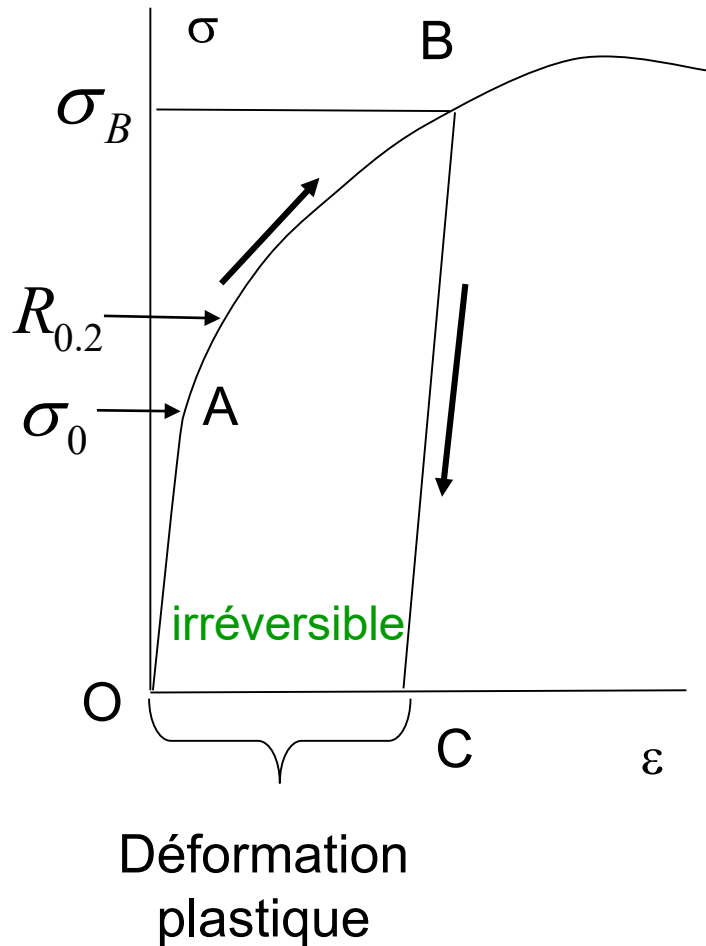
La déformation élastique est tjs présente:

$$\varepsilon = \varepsilon^{el} + \varepsilon^{pl}, \quad \varepsilon^{el} = \frac{\sigma}{E}$$

Déformation  
Plastique  $\varepsilon_{pl}$

Déformation  $\varepsilon$

# Chargement élasto-plastique: écrouissage (work hardening)



limite élastique:  $\sigma_0$

exposant d'écrouissage:  $n$

$$\text{en A : } \varepsilon^{el} = \frac{\sigma_0}{E} \text{ et } \varepsilon^{pl} = 0$$

$$\text{en B : } \varepsilon^{el} = \frac{\sigma_B}{E} \text{ et } \sigma_B = \sigma_0 + K \varepsilon_{pl}^n$$

$$\text{en C : } \varepsilon^{el} = 0 \text{ et } \varepsilon^{pl} = \left( \frac{\sigma_B - \sigma_0}{K} \right)^{\left(\frac{1}{n}\right)} > 0$$

NB: si  $\varepsilon_{pl} = 0.2\%$ , alors  $\sigma = R_{0.2}$

NB: si on étire à partir de C,  $R_{0.2} = \sigma_B$

On a donc durci le métal i.e. augmenté sa limite élastique.

NB: lors de l'essais de traction uni-axiale statique, la rupture des métaux se fait après une déformation plastique notable. La rupture est ductile.

# Dimensionnement des structures en génie civil

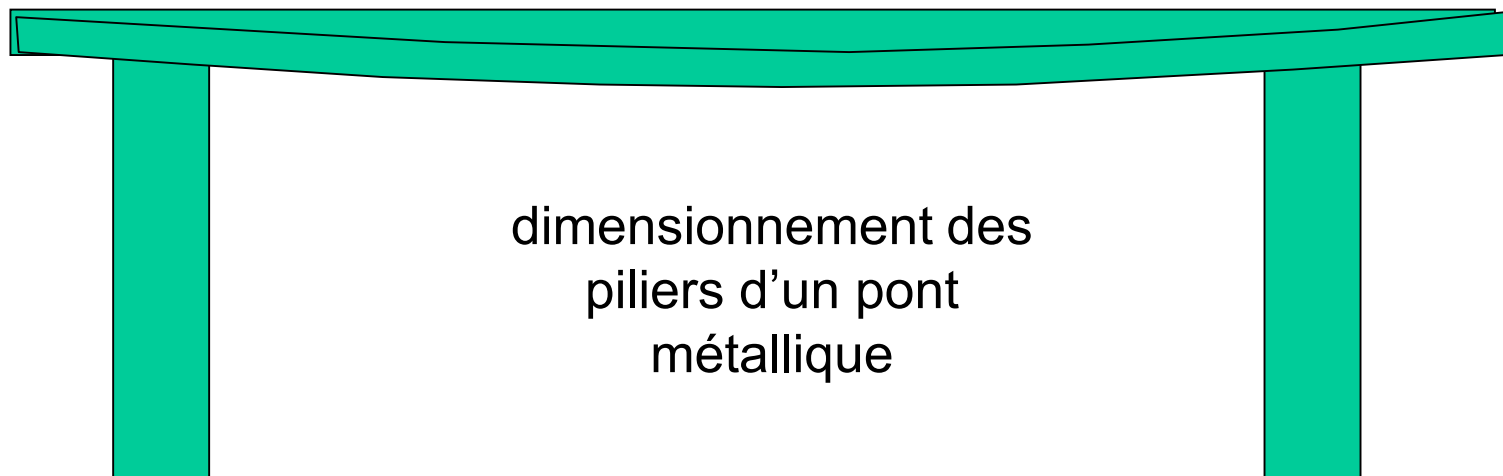
La limite d'élasticité ( $R_{0.2\%}$ ) est utile pour le **dimensionnement des structures**

Le comportement en compression est en 1<sup>ère</sup> approximation identique à celui en traction pour les métaux (contrairement aux bétons)

Les ingénieurs se « protègent » en appliquant un facteur de sécurité,  $f$ , de façon à ce que les contraintes en service restent inférieures à  $f R_{0.2\%}$

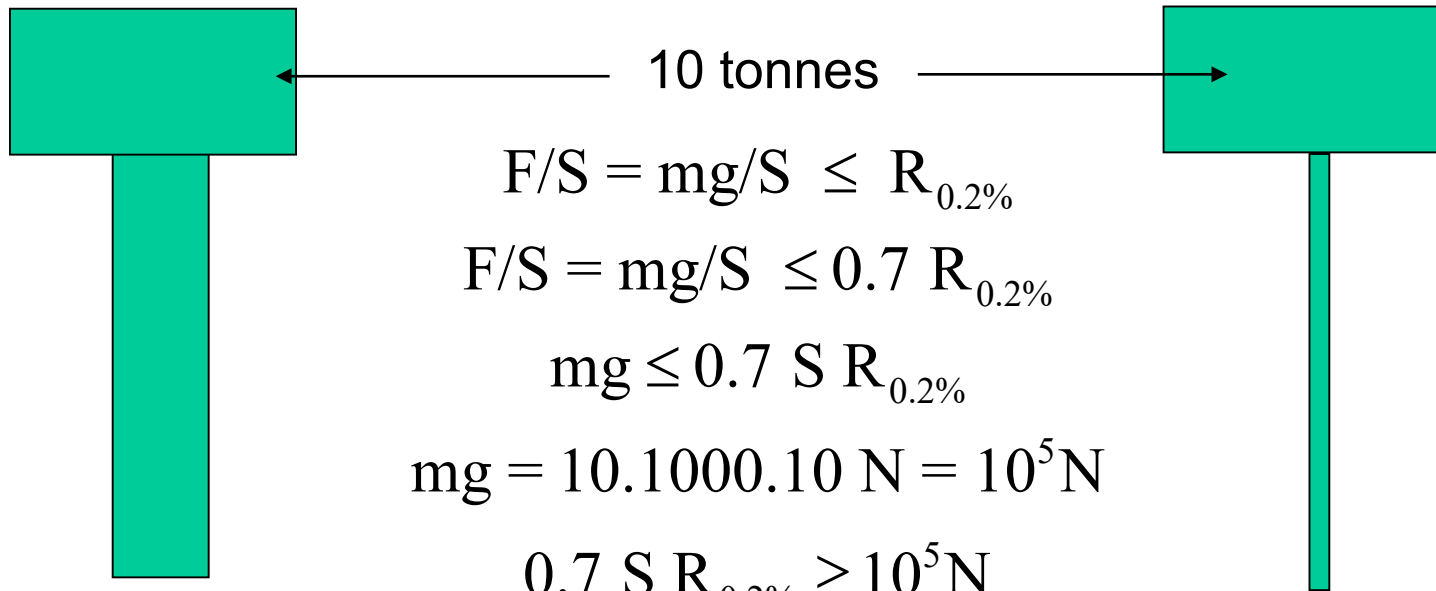
Deux paramètres sont ajustables; géométrie (section...) et limite élastique

Exemple, au passage de plusieurs poids lourds, un pont s'affaisse ...



# Dimensionnement des structures en génie civil

Exemple d'une barre en acier de section S qui doit supporter 10 tonnes



Forte section

Faible  $R_{0.2\%}$

Ex: 300 MPa

et 22 mm x 22 mm

Le produit  $S R_{0.2\%}$   
est minoré

Faible section

Forte  $R_{0.2\%}$

Ex: 700 MPa

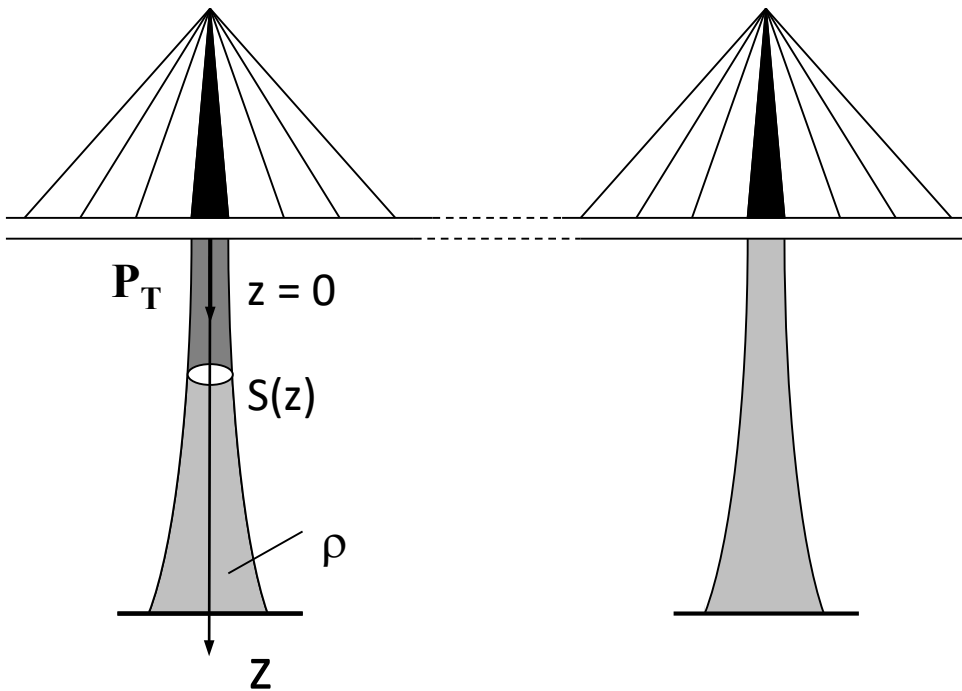
et 14 mm x 14 mm

Les **modes de durcissement** des alliages métalliques permettent d'obtenir une limite élastique fiable et élevée.

La section du pilier peut être optimisée: cf. exo suivant.

## Exo: dimensionnement des structures en génie civil

Pilier plein (béton ou acier) d'égale résistance à la compression: profil exponentiel



$P_T$ : poids du tablier

$m(z)$ : masse du pilier  
de  $z = 0$  à  $z$

Limite élastique:  $R_{0.2\%}$

Facteur de sécurité:  $f$

Masse volumique:  $\rho$

### Exercice : dimensionnement des piliers d'un pont métallique

On considère les piliers pleins de section  $S(z)$  d'un pont supportant un tablier de poids  $P_T$ . On définit un axe  $z$  vertical tel qu'indiqué sur la figure ci-dessous. On note  $m(z)$  la masse du pilier de  $z = 0$  à  $z$  et on veut dimensionner le pilier de manière optimale c'est-à-dire connaître la variation de sa section avec  $z$  de façon à ce que la contrainte de compression soit égale pour tout  $z$  à  $f R_{0.2}$  où  $f$  est le facteur de sécurité pris égal à 0.7 et  $R_{0.2}$  la limite élastique conventionnelle à 0.2% de l'acier, égale à 290 MPa. L'accélération de pesanteur est  $g = 10$  N/kg.

# Dimensionnement des piliers d'un pont métallique

1.1 Calculer la masse  $dm(z)$  d'une tranche de hauteur  $dz$  et de section moyenne  $S(z)$  en notant  $\rho$  la masse volumique de l'acier

$$dm(z) =$$

1.2 Calculer alors la quantité  $m(z)$  pour  $z > 0$  :

$$m(z) =$$

1.3 Que vaut la contrainte de compression  $\sigma$  en  $z = 0$  ?

$$\sigma_{z=0} =$$

1.4 Ecrire que cette quantité est égale  $fR_{0.2}$  pour exprimer la section optimale en  $z = 0$ ,  $S_0$ , en fonction de  $P_T$  et de  $fR_{0.2}$

-

-

$$S_0 =$$

1.5 A une distance  $z > 0$ , l'optimisation de la section  $S$  impose que la contrainte de compression en  $z$  soit égale à  $fR_{0.2}$ . Ecrire cette condition en introduisant la quantité  $m(z)$  et les paramètres du problème.

-

-

-

1.6 Dériver cette équation par rapport à  $z$  pour trouver l'équation différentielle vérifiée par la section  $S$  :

# Dimensionnement des piliers d'un pont métallique

1.7 Intégrer alors cette équation différentielle pour trouver la fonction  $S(z)$  avec  $S(0)=S_0$ .

-

-

$$S(z) =$$

1.8 Faire apparaître la distance caractéristique  $z_0$  pour laquelle la section  $S_0$  devient  $eS_0$  où  $e$  est l'exponentielle de 1 et exprimer  $z_0$  en fonction des données du problème.

$$z_0 =$$

1.9 Que vaut  $R_{0.2}$  ?

$$R_{0.2} =$$

1.10 Calculer  $z_0$  en m (mètre) dans le cas de notre acier en prenant  $\rho = 7 \text{ t/m}^3$

$$z_0 =$$

## Questions bonus:

Que vaut la déformation élastique du pilier selon l'axe z ?

De combien le pilier de 100 m se comprime-t-il ?

On prendra  $E = 210 \text{ GPa}$  pour module élastique de l'acier.

**Lundi 5 Mai**  
**Prop. mécaniques II**